

Exercice 3.1 - Courants induits

Ex - EM3 ①

1) D'après la loi de Biot et Savart

$$\vec{B}(M) = \int \left(\frac{\mu_0}{4\pi} I(t) d\vec{\ell} \wedge \frac{\vec{PM}}{PM^3} \right)$$

Pour des raisons de symétrie, le champ \vec{B} résultant sera dirigé selon l'axe z .

$d\vec{B}_M$ fait un angle $(\frac{\pi}{2} - \theta)$ avec l'axe (Oz)

$$dB_z = dB_M \times \cos\left(\frac{\pi}{2} - \theta\right) = d\vec{B}_M \cdot \vec{e}_z$$

$$= \left(\frac{\mu_0}{4\pi} I(t) d\vec{\ell} \wedge \frac{\vec{PM}}{PM^3} \right) \cdot \vec{e}_z$$

$$= \frac{\mu_0}{4\pi} I(t) \frac{d\ell}{r^2} \cos\left(\frac{\pi}{2} - \theta\right) = \frac{\mu_0}{4\pi} I(t) \frac{d\ell}{r^2} \sin\theta$$

$$B_z = \int dB_z = \oint \frac{\mu_0 I(t)}{4\pi} \frac{\sin\theta}{r^2} d\ell$$

lorsque P décrit le circuit fermé, l'angle θ , le rayon r et l'intensité $I(t)$ sont constants.

$$B_z = \frac{\mu_0 I(t)}{4\pi} \frac{\sin\theta}{r^2} 2\pi R = \frac{\mu_0 I(t) R \sin\theta}{2 r^2}$$

$$\text{ici, } \sin\theta = \frac{R}{r} \Rightarrow \left(\frac{R}{r}\right)^2 = \sin^2\theta$$

$$\text{et } B_z = \frac{\mu_0 I(t)}{2R} \sin^3\theta = K I(t) = K I_0 \cos(\omega t)$$

avec $K = \frac{\mu_0 \sin^3\theta}{2R}$

$$\text{ici, } \sin\theta = \frac{R}{\sqrt{R^2 + D^2}} \Rightarrow B_z = \frac{\mu_0 I(t)}{2R} \frac{R^3}{(R^2 + D^2)^{3/2}} = \frac{\mu_0 I(t) R^2}{2(R^2 + D^2)^{3/2}}$$

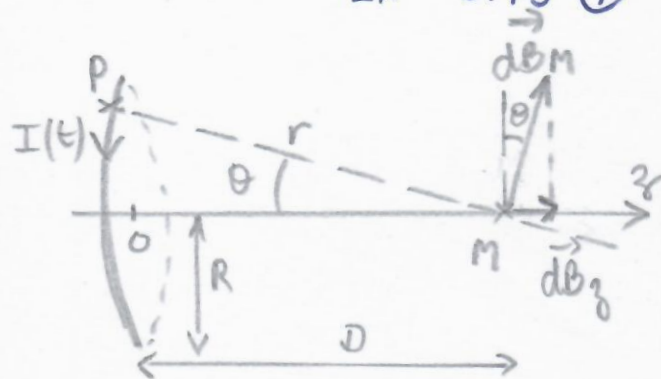
B_z dépend du temps $\Rightarrow \Phi_B(t)$ dans le disque et une variation de flux induit un champ \vec{E} .

Localement, pour $\vec{E}(r) = E(r) \vec{e}_\theta$, en 1 point M du disque,

$$\oint_{\text{ind}} \vec{E}(r) \cdot d\vec{\ell} = - \frac{d\Phi_B}{dt} = - \frac{d}{dt} \iint \vec{B} \cdot d\vec{S} = \iint \text{rot} \vec{E} \cdot d\vec{S}$$

$$= - \iint \frac{\partial \vec{B}}{\partial t} \cdot d\vec{S} = - \pi r^2 \frac{dB_z}{dt}$$

$$\frac{E(r)}{\text{champ local}} 2\pi r = - \pi r^2 \frac{dB_z}{dt} \Rightarrow \boxed{\vec{E}_{\text{ind}}(r) = - \frac{r}{2} \frac{dB_z}{dt} \vec{e}_\theta}$$



- 2) Absence d'un champ \vec{E} électrostatique, la loi d'Ohm locale s'écrit : $\vec{j}_{ind} = \gamma \vec{E}_{ind}$

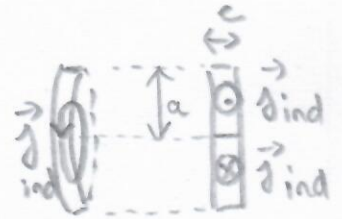
$$\vec{j}_{ind} = -\frac{\gamma}{2} r \frac{dB_z}{dt} \vec{e}_\theta$$

Par définition, $I_{ind} = \iint \vec{j}_{ind} \cdot d\vec{s}$

$$I_{ind} = \int_0^a \left[\int_0^e j_{ind} \times dz \right] dr =$$

$$= \int_0^a -\frac{\gamma e r}{2} \frac{dB_z}{dt} dr = -\frac{\gamma e}{2} \frac{dB_z}{dt} \frac{a^2}{2}$$

$$= -\frac{\gamma e a^2}{4} K I_0 (-\omega \sin(\omega t)) = \boxed{\frac{\gamma e a^2}{4} K I_0 \omega \sin(\omega t)} = I_{ind}$$



- 3) Puissance volumique dissipée dans le disque

$$P_v = \vec{j} \cdot \vec{E}_{ind} = \gamma (E_{ind})^2$$

Pour l'ensemble du barreau, la puissance totale dissipée dans le disque a pour expression :

$$\begin{aligned} \mathcal{P} &= \iiint P_v dr \times r d\theta \times dz \\ &= \int_{r=0}^a \gamma \frac{r^2}{4} \left(\frac{dB_z}{dt} \right)^2 r dr \int_{\theta=0}^{2\pi} d\theta \int_{z=0}^e dz \\ &= \frac{\gamma}{4} \left(\frac{dB_z}{dt} \right)^2 \frac{a^4}{4} 2\pi e \end{aligned}$$

$d\tau = dr r d\theta dz$
coord. cylindriques

avec $B_z = K I_0 \cos(\omega t)$

$$\frac{dB_z}{dt} = -K I_0 \omega \sin(\omega t) = -\frac{\mu_0 \sin^3 \theta}{2R} I_0 \omega \sin(\omega t)$$

$$\mathcal{P} = \frac{\gamma}{4} \left(\frac{\mu_0^2 \sin^6 \theta}{4R^2} I_0^2 \omega^2 \sin^2(\omega t) \right) \frac{a^4}{4} 2\pi e$$

$$\langle \mathcal{P} \rangle = \frac{\gamma \mu_0^2 \sin^6 \theta I_0 \omega^2 a^4 \pi e}{32 R^2} \langle \sin^2(\omega t) \rangle$$

$$\boxed{\langle \mathcal{P} \rangle = \frac{\gamma \mu_0^2 \sin^6 \theta I_0 \omega^2 a^4 \pi e}{64 R^2}}$$

Ex 3.3 - Induction créée par un moment magnétique

Ex-EM3⑥

L'aimant en rotation crée dans la spire un champ \vec{B} variable. Le flux dans la bobine varie donc création d'une fém induite (loi de Faraday) et d'un courant induit dans la spire.

La bobine crée à son tour un champ \vec{B}_{bobine} propre et l'aimant tournant placé dans ce champ subit un moment

$$\vec{m}(0) = \vec{\Gamma}(0) = \vec{M} \wedge \vec{B}_{\text{bobine}}(0)$$

s'opposant à la rotation.

1) Expression du champ \vec{B} créé par un dipôle magnétique.

Rappel : l'expression est analogue au champ électrique créé par un dipôle électrique

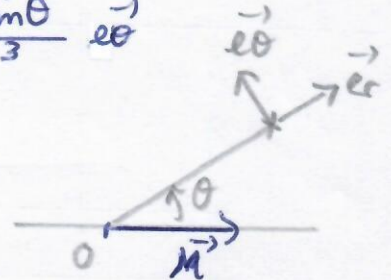
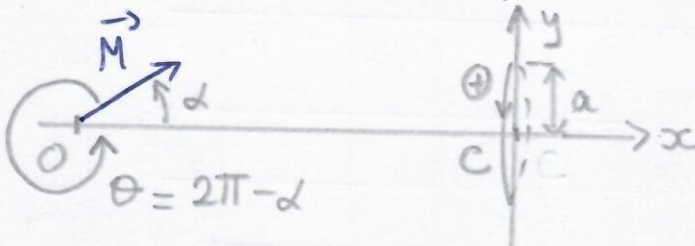
$$V = \frac{p \cos \theta}{4\pi \epsilon_0 r^2}$$

$$\vec{E} = -\text{grad } V$$

$$= \frac{2p \cos \theta}{4\pi \epsilon_0 r^3} \vec{e}_r + \frac{p \sin \theta}{4\pi \epsilon_0 r^3} \vec{e}_\theta$$

Pour un dipôle magnétique, on a :

$$\vec{B} = \frac{\mu_0}{4\pi} \frac{2M \cos \theta}{r^3} \vec{e}_r + \frac{\mu_0 M \sin \theta}{4\pi r^3} \vec{e}_\theta$$



Ici, $\theta = 2\pi - \alpha$ et $\alpha = \omega t$

$$\vec{B}'(c)_{\text{dipole}} = \vec{B}'_{\text{créé par l'aimant tournant en C}} = \frac{\mu_0}{4\pi} \frac{2M \cos(\omega t)}{r^3} \vec{e}_x - \frac{\mu_0 M \sin(\omega t)}{4\pi r^3} \vec{e}_y$$

Calculons le flux du champ créé par l'aiguille à travers la spire.

$$\Phi_{\text{dipole} \rightarrow \text{spire}} = \iint \vec{B}_{\text{dipole}} \cdot d\vec{S} \quad \text{avec} \quad \begin{cases} d\vec{S} = dS \vec{e}_x \\ \vec{B}_{\text{dipole}} \approx \vec{B}'_{\text{dipole}}(c) \end{cases}$$

$$\Phi_{\text{dipole} \rightarrow \text{spire}} = \frac{\mu_0}{4\pi} \frac{2M \cos(\omega t)}{r^3} \pi a^2$$

$$\boxed{\Phi_{\text{dipole} \rightarrow \text{spire}} = \frac{\mu_0}{2} \frac{M \cos(\omega t)}{r^3} a^2}$$

2) Pour évaluer le courant induit dans la spire, Ex - EM3 (7)
on néglige le champ magnétique propre.

$$\phi_{\text{total}} = \phi_{\text{dipole} \rightarrow \text{spire}} + \phi_{\text{propre}} (= Li)$$

$$\mathcal{E} \approx - \frac{d\phi_{\text{dipole} \rightarrow \text{spire}}}{dt} = Ri$$

$$i = \frac{1}{R} \left(- \frac{\mu_0}{2} \frac{M \omega (-\sin(\omega t))}{r^3} a^2 \right)$$

$$\boxed{i = \frac{\mu_0 M \omega a^2}{2 R r^3} \sin(\omega t)}$$

On en déduit le couple subi par la spire car le courant induit i est à l'origine d'un moment magnétique \vec{M}_s de la boucle de courant tel que $\vec{M}_s = i \times \pi a^2 \vec{e}_x$.

$$\vec{\Gamma}_s = \vec{M}_s \wedge \vec{B}_{\text{dipole}} \quad \text{Surface de la spire}$$

$$= i \pi a^2 \vec{e}_x \wedge \left(\frac{\mu_0}{4\pi} \frac{2M \cos(\omega t)}{r^3} \vec{e}_x - \frac{\mu_0}{4\pi} \frac{M \sin(\omega t)}{r^3} \vec{e}_y \right)$$

$$= - \left(\frac{\mu_0 M \omega a^2}{2 R r^3} \sin(\omega t) \right) \pi a^2 \times \frac{\mu_0}{4\pi} \frac{M \sin(\omega t)}{r^3} \vec{e}_y$$

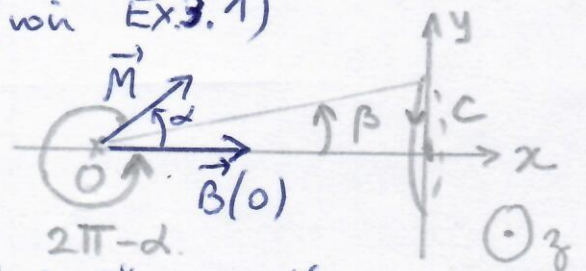
$$\boxed{\vec{\Gamma}_s = - \frac{\mu_0^2 M^2 \omega a^4 \sin^2(\omega t)}{8 R r^6} \vec{e}_y}$$

3) Le champ $\vec{B}(0)$ créé par la spire en O a pour expression

$$\vec{B}(0) = \frac{\mu_0 i \sin^3 \beta}{2a} \vec{e}_x \quad (\text{voir Ex 3.1})$$

Or $a \ll r$, $\sin \beta \approx \tan \beta = \frac{a}{r}$

$$\boxed{\vec{B}(0) = \frac{\mu_0 i}{2a} \left(\frac{a}{r} \right)^3 \vec{e}_x}$$



On en déduit le couple subi par l'aiguille aimantée.

$$\vec{m}_{\text{dipole}}(0) = \vec{\Gamma}(0) = \vec{M} \wedge \vec{B}(0)$$

$$= M \times B(0) \times \sin(2\pi - \alpha) \vec{e}_y$$

$$= - M \frac{\mu_0 i a^2}{2 r^3} \sin \alpha \vec{e}_y$$

$$= - \frac{M \mu_0}{2 r^3} \left(\frac{\mu_0 M \omega a^2}{2 R r^3} \sin(\omega t) \right) a^2 \sin(\omega t) \vec{e}_y$$

$$\boxed{\vec{\Gamma}(0) = - \frac{\mu_0^2 M^2 \omega a^4 \sin^2(\omega t)}{4 R r^6} \vec{e}_y}$$

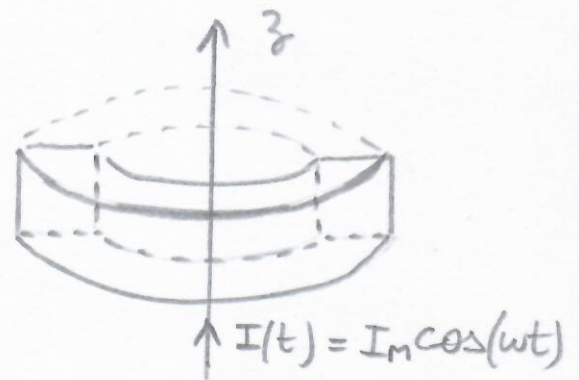
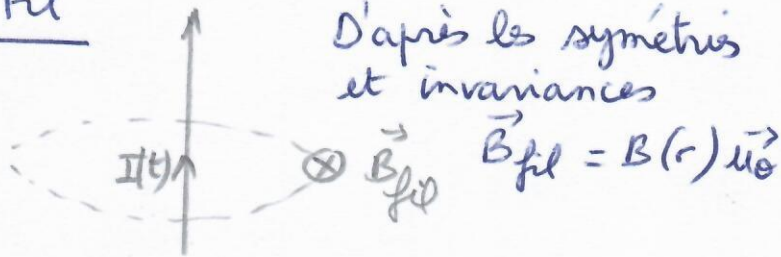
Ex 3.4 - Pince ampèremétrique

Ex - EM 3 (8)

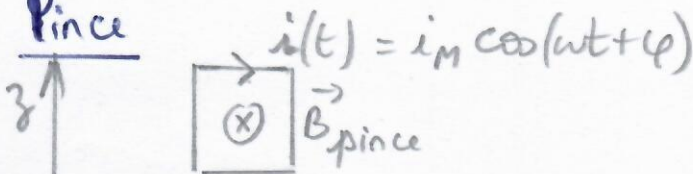
1) Soit \vec{B} le champ magnétique total

$$\vec{B} = \vec{B}_{\text{fil}} + \vec{B}_{\text{pince}}$$

Fil



Pince



D'après les symétries et invariances

$\vec{B}_{\text{pince}} = B(r, z) \vec{u}_\phi$. Par le principe de superposition

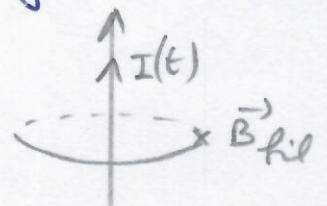
$$\vec{B} = \vec{B}_{\text{fil}} + \vec{B}_{\text{pince}} = \underline{\underline{B(r, z) \vec{u}_\phi}}$$

Fil : D'après le théorème d'Ampère :

$\oint \vec{B} \cdot d\vec{l} = \mu_0 I_{\text{enlacé}}$. Pour tout point intérieur au tore
Contour d'Ampère centré sur l'axe Oz , de rayon $a \leq r \leq 2a$

$$B_{\text{fil}} \times 2\pi r = \mu_0 I(t)$$

$$\boxed{B_{\text{fil}} = \frac{\mu_0 I(t)}{2\pi r}}$$

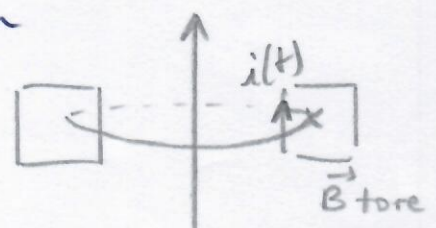


Pince Pour tout point intérieur au tore, on choisit un contour d'Ampère centré sur l'axe Oz de rayon $a \leq r \leq 2a$.

$$\oint \vec{B} \cdot d\vec{l} = \mu_0 I_{\text{enlacé}}$$

$$B_{\text{pince}} \times 2\pi r = \mu_0 N i(t)$$

$$\boxed{B_{\text{pince}} = \frac{\mu_0 N i(t)}{2\pi r}}$$



$$\boxed{\vec{B} = \frac{\mu_0 (I(t) + N i(t))}{2\pi r} \vec{u}_\phi}$$

$$2) \quad \Phi_B = \iint \vec{B}' \cdot d\vec{s}$$

Ex-EM3 ⑨

$$= \iint \frac{\mu_0 (I(t) + Ni(t))}{2\pi r} \vec{e}_\theta \cdot d\vec{r} dz \vec{e}_\theta$$

$$= \frac{\mu_0 (I(t) + Ni(t))}{2\pi} \int_{r=a}^{2a} \frac{dr}{r} \int_{z=0}^a dz$$

$$= \frac{\mu_0 (I(t) + Ni(t))}{2\pi} \ln\left(\frac{2a}{a}\right) a$$

$$\boxed{\Phi_B = \frac{\mu_0 (I(t) + Ni(t)) a \ln 2}{2\pi}}$$

En notation complexe, $\begin{cases} \underline{I}(t) = I_m e^{j\omega t} \\ \underline{i}(t) = i_m e^{j(\omega t + \varphi)} \end{cases}$

$$\Phi_B = \frac{\mu_0 Ni(t)}{2\pi} a \ln 2 + \frac{\mu_0 a \ln 2}{2\pi} I(t) = L i(t) + M I(t)$$

où L est le coefficient d'auto-inductance
et M est le coefficient de mutuelle inductance.

$$\text{D'après la loi de Faraday } e = - \frac{d\Phi_B}{dt} = -L \frac{di(t)}{dt} - M \frac{dI(t)}{dt}$$

$$\frac{d\underline{i}(t)}{dt} = j\omega \underline{i}(t) \quad \text{et} \quad \frac{d\underline{I}(t)}{dt} = j\omega \underline{I}(t)$$

$$\text{La fonction de transfert } \underline{H} = \frac{\underline{i}(t)}{\underline{I}(t)}$$

$$\text{et } e = -j\omega [L \underline{i}(t) + M \underline{I}(t)]$$

$$\text{le circuit électrique équivalent } e = R i(t)$$

$$R \underline{i}(t) = -j\omega L \underline{i}(t) - j\omega M \underline{I}(t)$$

$$\underline{i}(t) [R + j\omega L] = -j\omega M \underline{I}(t)$$

$$\underline{H} = \frac{\underline{i}(t)}{\underline{I}(t)} = \frac{-j\omega M}{R + j\omega L}$$

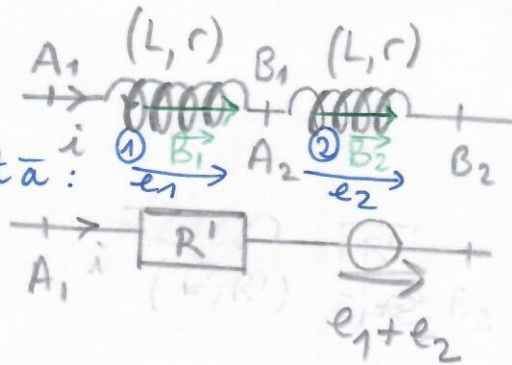
$$|\underline{H}| = \left| \frac{\underline{i}(t)}{\underline{I}(t)} \right| = \left| \frac{-j\omega M}{R + j\omega L} \right| = \frac{\omega M}{\sqrt{R^2 + \omega^2 L^2}} = \frac{i_m}{I_m} = \frac{M}{\sqrt{\left(\frac{R}{\omega}\right)^2 + L^2}}$$

$$\text{Si } \omega \rightarrow +\infty, \text{ alors } |\underline{H}| \rightarrow \frac{M}{L} = \frac{\mu_0 a \ln 2 / 2\pi}{\mu_0 N a \ln 2 / 2\pi} = \boxed{\frac{1}{N}}$$

Ex 3.5 - Bobine équivalente à deux bobins en série. Ex- EM3 (10)

1) Cas n°1

équivalent à :



$$i_1 = i_2 = i$$

$$R' = 10 \Omega$$

$$L' = 90 \text{ mH}$$

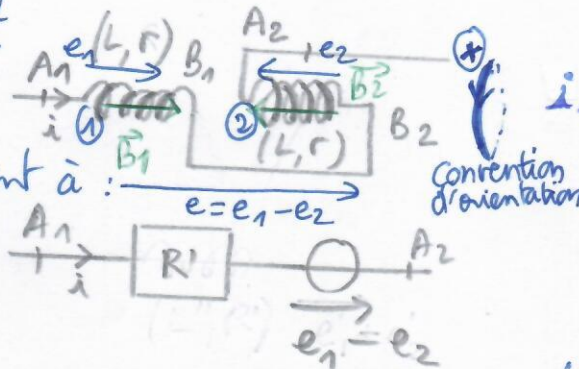
Expérimentalement

- On mesure r_{eq} directement à l'ohmètre car courant continu.

- on mesure Z_{eq}

Cas n°2

équivalent à :



$$i_1 = -i_2 = i$$

$$R' = 10 \Omega$$

$$L'' = 70 \text{ mH}$$

$$Z_{\text{eq}} \approx L_{\text{eq}} \cdot \omega$$

(Ex: fréquence $f = 1 \text{ kHz}$)

Dans les 2 cas, on a $R' = 10 \Omega = r + r \Rightarrow r = \frac{R'}{2} = \frac{10}{2} = 5 \Omega = r$

Dans les 2 cas, l'inductance équivalente est différente selon l'association série.

Cas n°1 : $\Phi_{\text{total}} = \phi_1 + \phi_2$

avec $\phi_1 = \phi_{1p} + \phi_{2 \rightarrow 1} = L_1 i_1 + M i_2 = (L + M) i$

$\phi_2 = \phi_{2p} + \phi_{1 \rightarrow 2} = L_2 i_2 + M i_1 = (L + M) i$

$$e = - \frac{d\Phi_{\text{total}}}{dt} = -2(L + M) \frac{di}{dt} = -L' \frac{di}{dt} \Rightarrow \boxed{L' = 2(L + M)}$$

Cas n°2 : $\Phi_{\text{total}} = \phi_1 - \phi_2 \Rightarrow e = e_1 - e_2 = - \frac{d}{dt} [\phi_1 - \phi_2] = - \frac{d\phi}{dt}$
 $i_1 = -i_2 = i$

avec $\phi_1 = \phi_{1p} + \phi_{2 \rightarrow 1} = L_1 i_1 + M i_2 = (L - M) i$

$\phi_2 = \phi_{2p} + \phi_{1 \rightarrow 2} = L_2 i_2 + M i_1 = (L - M) i$

$$e = - \frac{d\Phi_{\text{total}}}{dt} = -2(L - M) \frac{di}{dt} = -L'' \frac{di}{dt} \Rightarrow \boxed{L'' = 2(L - M)}$$

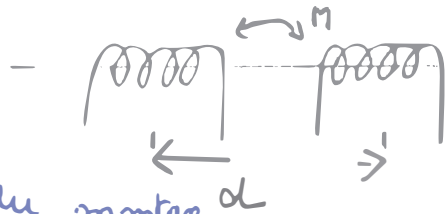
$$\begin{cases} L' = 2L + 2M \\ L'' = 2L - 2M \end{cases} \Rightarrow \begin{cases} L' = 2L + (2L - L'') \\ L' = 4L - L'' \end{cases}$$

$$\boxed{L = \frac{L' + L''}{4}} \text{ an } L = \frac{90 + 70}{4} = 40 \text{ mH}$$

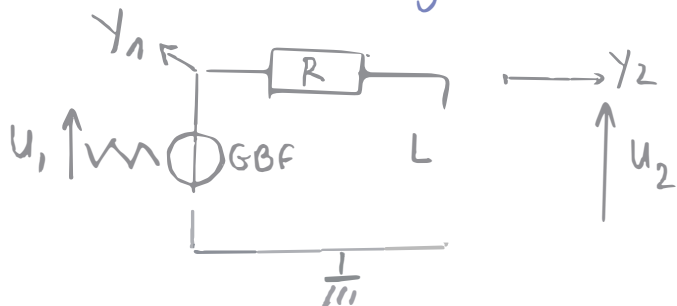
On peut mesurer la mutuelle inductance

$$\boxed{M = \frac{L'}{2} - L = -\frac{L''}{2} + L} \text{ an } \begin{cases} M = \frac{90}{2} - 40 = 5 \text{ mH} \\ M = -\frac{70}{2} + 40 = 5 \text{ mH} \end{cases}$$

Ex 3.7 - Bobines couplées par inductance mutuelle



1) Schéma du montage

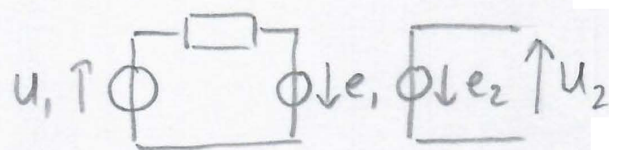


$$u_{1\max} = 1,41 \text{ V}$$

$$T = \frac{2\pi}{\omega} = 1 \text{ ms}$$

$$\frac{R}{L\omega} \gg 1 \Leftrightarrow R \gg L\omega$$

montage équivalent



$$2) u_2 = -e_2$$

$$= -\left[-\frac{d\phi_2}{dt}\right]$$

$$= \frac{d}{dt} [\phi_{22} + \phi_{1 \rightarrow 2}]$$

$$= \frac{d}{dt} [L i_2 + M i_1] = \frac{d}{dt} (M i_1) \quad \text{car circuit ouvert } i_2 = 0.$$

$$= M \frac{di_1}{dt}$$

$$u_1 = R i_1 - e_1 = R i_1 + \frac{d}{dt} [L i_1 + M i_2] = R i_1 + L \frac{di_1}{dt}$$

u_1 est une tension triangulaire

Notation complexe

$$\underline{U}_1 = R \underline{i}_1 + j\omega L \underline{i}_1 = \underline{i}_1 (R + j\omega L)$$

or $R \gg \omega L$ donc $\underline{U}_1 \approx \underline{i}_1 R \Rightarrow \underline{i}_1 = \frac{\underline{U}_1}{R}$.

U_1 est une tension triangulaire



Sur $1/2$ période, $U_1 = at + b$ où a est la pente de la chute /

$$\frac{du_1}{dt} = a = \frac{2U_1}{1/2T} = \frac{4U_1}{T}$$

$$U_2 = M \frac{di_1}{dt} = \frac{M}{R} \frac{du_1}{dt} = \boxed{\frac{M4U_1}{RT} = U_2} \Rightarrow \boxed{M = \frac{U_2 RT}{4U_1}}$$

an $M = \frac{0,043 \times R \times 1 \times 10^{-3}}{4 \times 1,41} = 7,6 \times 10^{-6} \times R$

Si $R = 100 \Omega$, $M = 0,76 \text{ mH}$.

1. Le solénoïde, parcouru par un courant $i(t) = I_m \sin(\omega t)$ crée un champ $\vec{B}(t)$ identique en tout pt de l'espace intérieur d'expression $\vec{B}(t) = \mu_0 n i(t) = \mu_0 n I_m \sin(\omega t)$
2. On place 1 anneau filiforme à l'intérieur du solénoïde ($R=0, L \neq 0$).
le flux du champ \vec{B} à travers l'anneau:

$$\begin{aligned}
 \phi &= \iint \vec{B} \cdot d\vec{S} \\
 &= \iint \mu_0 n i(t) \vec{e}_z \cdot dr \, r d\theta \, \vec{e}_z \quad (\text{coord cyl.}) \\
 &= \mu_0 n i(t) \int_{r'=0}^r r' dr' \int_0^{2\pi} d\theta \\
 &= \mu_0 n i(t) \frac{r^2}{2} 2\pi \\
 &= \mu_0 n \pi r^2 I_m \sin(\omega t)
 \end{aligned}$$

3. L'anneau, d'inductance L , est parcouru par un flux $\phi = L i'(t) = \phi_{\text{propre}}$

$$i'(t) = \frac{\phi}{L} = \boxed{\frac{\mu_0 n \pi r^2 I_m \sin(\omega t)}{L} = i'(t)}$$

Ex 3.10 - Spire carrée au voisinage d'un fil

1. Invariances et sym.

$$\begin{aligned}\vec{B}(r) &= B(r) \cdot \vec{e}_\phi \\ &= \frac{\mu_0 I(t)}{2\pi r} \vec{e}_\phi\end{aligned}$$

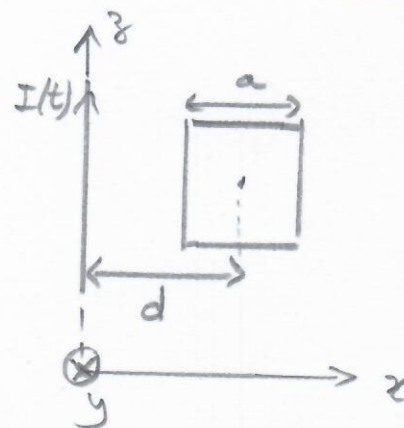
2. Flux de \vec{B} à travers la spire carrée

$$\begin{aligned}\phi &= \iint \vec{B}(r) \cdot d\vec{s} \\ &= \iint \frac{\mu_0 I(t)}{2\pi x} \vec{e}_y \cdot dx dz \vec{e}_y \\ &= \frac{\mu_0 I(t)}{2\pi} \int_{x=d-\frac{a}{2}}^{d+\frac{a}{2}} \frac{dx}{x} \int_{z=0}^a dz \\ &= \frac{\mu_0 I(t)}{2\pi} \ln\left(\frac{d+\frac{a}{2}}{d-\frac{a}{2}}\right) a\end{aligned}$$

$$3. \quad e_{\text{ind}} = - \frac{d\phi}{dt} = - \frac{\mu_0 a}{2\pi} \ln\left(\frac{d+\frac{a}{2}}{d-\frac{a}{2}}\right) \frac{dI(t)}{dt}$$

$$e_{\text{ind}} = - \frac{\mu_0 a}{2\pi} \ln\left(\frac{d+\frac{a}{2}}{d-\frac{a}{2}}\right) \frac{dI(t)}{dt}$$

Ex - EM3 (19)



À travers la spire
 $\vec{B} = B \vec{e}_\phi = B \vec{e}_y$
et $r = x$.